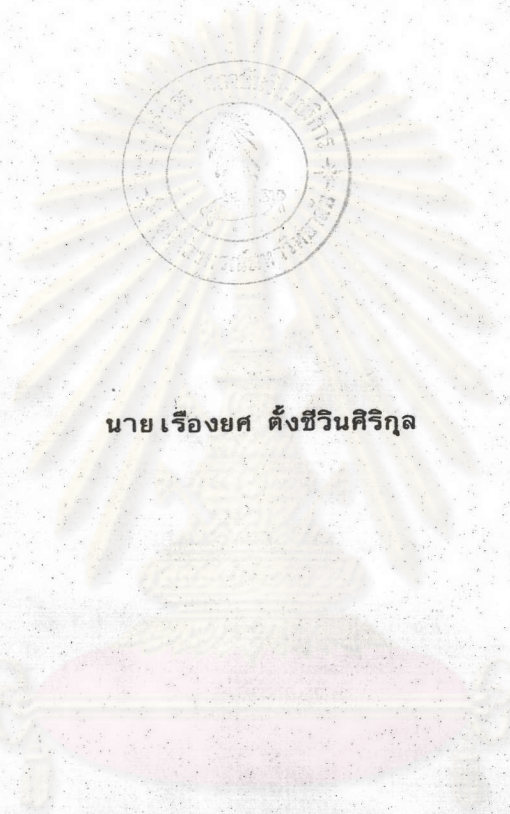


การศึกษาเกี่ยวกับไฟถนนบนผิวถนนคอนกรีตและแอสฟัลท์



นาย เรืองยศ ตั้งชีวินศิริกุล

ศูนย์วิทยะทรัพยากร
จุฬาลงกรณ์มหาวิทยาลัย

วิทยานิพนธ์นี้ เป็นส่วนหนึ่งของการศึกษาตามหลักสูตรปริญญาวิศวกรรมศาสตรมหาบัณฑิต

ภาควิชาวิศวกรรมไฟฟ้า

บัณฑิตวิทยาลัย จุฬาลงกรณ์มหาวิทยาลัย

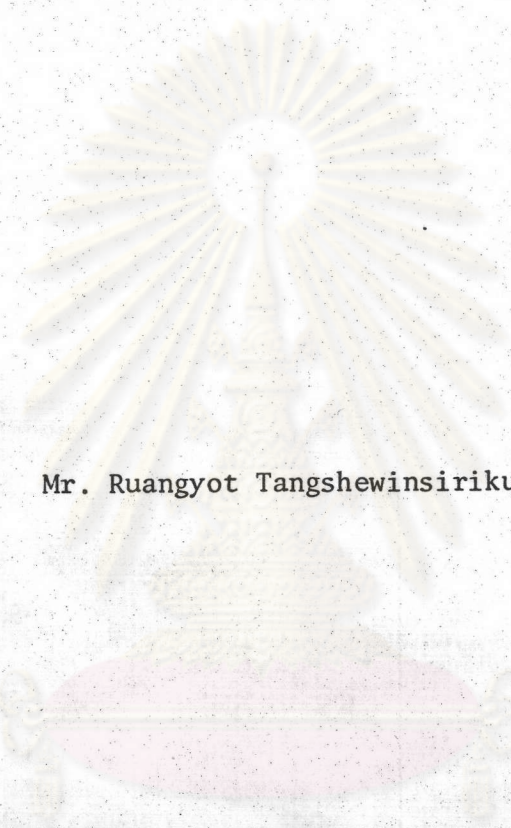
พ.ศ. 2527

ISBN 974-563-894-3

009402

i 17139028

A Study of Road Lighting on Concrete
and Asphaltic Road Surfaces



Mr. Ruangyot Tangshewinsirikul

คณะวิศวกรรมศาสตร์
จุฬาลงกรณ์มหาวิทยาลัย

A Thesis Submitted in Partial Fulfillment of the Requirements
for the Degree of Master of Engineering
Department of Electrical Engineering
Graduate School
Chulalongkorn University

1984

หัวข้อวิทยานิพนธ์ การศึกษา เกี่ยวกับ โฟลนอนบนผิวถนนคอนกรีตและแอสฟัลท์

โดย นาย เรืองยศ ดั่งชีวินศิริกุล

ภาควิชา วิศวกรรมไฟฟ้า

อาจารย์ที่ปรึกษา รองศาสตราจารย์ ดร.ประโมทย์ อุณหไวกะ



บัณฑิตวิทยาลัย จุฬาลงกรณ์มหาวิทยาลัย อนุมัติให้บัณฑิตวิทยาลัยนี้เป็นส่วนหนึ่งของการศึกษาตามหลักสูตรปริญญาโทบัณฑิต

Signature

..... คณบดี บัณฑิตวิทยาลัย
(รองศาสตราจารย์ ดร.สุประดิษฐ์ บุนนาค)

คณะกรรมการสอบวิทยานิพนธ์

Signature ประธานกรรมการ
(ดร. ประสาท จันทราทิพย์)

Signature กรรมการ
(รองศาสตราจารย์ ดร.ประโมทย์ อุณหไวกะ)

Signature กรรมการ
(หม่อมหลวง ปิยพงศ์ นวรัตน์)

Signature กรรมการ
(รองศาสตราจารย์ ดร.เทียนชัย ประดิษฐายน)

Signature กรรมการ
(ผู้ช่วยศาสตราจารย์ ประสิทธิ์ พิทยพัฒน์)

ลิขสิทธิ์ของบัณฑิตวิทยาลัย จุฬาลงกรณ์มหาวิทยาลัย

หัวข้อวิทยานิพนธ์ การศึกษาเกี่ยวกับไฟถนนบนผิวถนนคอนกรีตและแอสฟัลท์

ชื่อ นาย เรืองยศ ตั้งชีวินศิริกุล

อาจารย์ที่ปรึกษา รองศาสตราจารย์ ดร.ประโมทย์ อุทวิททยะ

ภาควิชา วิศวกรรมไฟฟ้า

ปีการศึกษา 2527

บทคัดย่อ

การออกแบบติดตั้งไฟถนนในประเทศไทยปัจจุบันนี้ ได้จากการคำนวณค่าความสว่างบนผิวถนน แต่ปัจจุบันในต่างประเทศ เริ่มใช้การคำนวณค่าความส่องสว่างบนผิวถนน ดังนั้นวิทยานิพนธ์เรื่องนี้จึงได้ศึกษาการติดตั้งไฟถนนโดยคิดจากทั้งความสว่างบนผิวถนนและความส่องสว่างของผิวถนน ซึ่งเน้นศึกษาเกี่ยวกับผิวถนนที่เป็นคอนกรีตและแอสฟัลท์ ทั้งนี้ เพราะ เป็นผิวถนนที่ใช้งาน เป็นส่วนมากกับถนนสายหลัก ๆ ในประเทศไทย ในการศึกษาได้เลือกตัวอย่างการติดตั้งไฟถนนที่เป็นทางตรงและผิวถนนทั้ง 4 แห่งคือ ถนนรัชดาภิเษกช่วงที่มีผิวถนนเป็นคอนกรีตและช่วงที่มีผิวถนนเป็นแอสฟัลท์ ทางควนดินแดง-บางนา ช่วงถนนเพชรบุรีตัดใหม่ถึงท่าเรือ ซึ่งมีผิวถนนเป็นแอสฟัลท์ และแห่งสุดท้ายคือถนนมุขมนตรี อำเภอมือง จังหวัดนครราชสีมา ซึ่งมีผิวถนนเป็นแอสฟัลท์ เช่นกัน การคำนวณค่าความสว่างและความส่องสว่างแต่ละจุดบนผิวถนนได้ใช้โปรแกรมคอมพิวเตอร์ เข้าช่วย จากนั้นได้ใช้ลูมิแนนซ์มิเตอร์วัดค่าความส่องสว่างในสนามและถ่ายภาพสไลด์สี เพื่อวัดเทียบค่าความส่องสว่างจุดอื่น ๆ ตามต้องการ จากการคำนวณจะได้ว่าเมื่อมีการติดตั้งไฟถนนแบบเดียวกัน และสภาพถนนเหมือนกันต่างกัน เฉพาะที่มีผิวถนนเป็นคอนกรีตและแอสฟัลท์ เท่านั้น ดังที่ถนนรัชดาภิเษก ผลค่าความสว่างจะมีค่าเท่ากันและอยู่ในพิสัยมาตรฐานของสมาคมวิศวกรรมไฟฟ้าส่องสว่าง (IES) แต่ผลค่าความส่องสว่างและคุณลักษณะความส่องสว่างของผิวถนนคอนกรีตจะอยู่ในพิสัยต่ำกว่าคำแนะนำของคณะกรรมการวิศวกรรมไฟฟ้าส่องสว่าง (CIE) ส่วนผิวถนนแอสฟัลท์จะได้ค่าความสม่ำเสมอทั้งหมด ความสม่ำเสมอตามแนวยาวของถนนและค่า discomfort glare ต่ำกว่าที่กีดเล็กน้อย ส่วนทางควนดินแดง-บางนา จะมีเฉพาะค่า discomfort glare เท่านั้นที่ต่ำกว่าที่กีดเล็กน้อย และสำหรับที่ถนนมุขมนตรีก็จะได้ว่าค่าความสม่ำเสมอทั้งหมด disability

glare และ discomfort glare ต่ำกว่าพิกัดเล็กน้อย

จากการวัดค่าความส่องสว่างของผิวถนนตัวอย่างทั้ง 4 แห่ง เมื่อถนนผ่านการใช้งานแล้วระยะหนึ่ง จะได้ผลว่าคุณลักษณะความส่องสว่างของผิวถนนคอนกรีตยังคงอยู่ในพิกัด ส่วนผิวถนนแอสฟัลท์ทั้งหมดจะมีค่าความสม่ำเสมอลดลงอย่างมาก แต่ค่า disability glare และ discomfort glare จะดีขึ้นอย่างมาก ซึ่งจะเป็นผลให้การสังเกตเห็นวัตถุหรือคนเดินเท้าขณะขับขี่รถยนต์ไปบนถนนยังคงเป็นไปด้วยดี และหากต้องการปรับปรุงให้ค่าความสม่ำเสมอของความส่องสว่างดีขึ้น ก็อาจใช้หินละเอียดโรยบนผิวหน้าของถนนแอสฟัลท์ก็ได้ ในตอนสุดท้ายได้คำนวณวิเคราะห์ผลว่า ถ้าต้องการคำนวณออกแบบไฟถนนทั้ง 4 แห่ง โดยคิดจากค่าความส่องสว่างแล้ว การติดตั้งควรจะเป็นอย่างไร

ศูนย์วิทยทรัพยากร
จุฬาลงกรณ์มหาวิทยาลัย

Thesis Title A Study of Road Lighting on Concrete and Asphaltic
Road Surfaces

Name Mr. Ruangyot Tangshewinsirikul

Thesis Advisor Dr. Pramohit Unhavaithaya

Department Electrical Engineering

Academic year 1984

ABSTRACT

The design of street lights in Thailand, at the present time, uses the illuminance method, but other countries use the luminance of the road surface. This thesis is a study of road lighting installations by considering both the illuminance and the luminance value. The emphasis is put on concrete and asphalt surfaces since they are widely used on the main roads of Thailand.

Four sections of dry straight roads were chosen as samples for the study. They are: two stretches of Ratchadapisek Road (at both its concrete and asphalt sections); an asphalt section of Din Dang-Bang Na Express Way from New Petchaburi Road to the Sea Port; and an asphalt section of Mukamontri Road in Nakornrajasima Province. The calculation of illuminance and luminance was made by using a computer. For field measurements, a luminance meter was used and colour slides were taken. The studies show that the same design of street lights on roads in the same condition but with different surfaces (as of the concrete and asphalt sections of Rajadapisek Road) have the same illuminance value and this value is in accordance with the limits of IES standard. However, although the luminance values and quality

characteristics of luminance on the concrete surfaces are within the limits of CIE recommendation, the asphalt surfaces show an overall uniformity, longitudinal uniformity and discomfort glare which are only a little bit lower than the recommended levels. For the Din Dang-Bang Na Express Way only the discomfort glare is a little bit lower and at the Mukamontri Road, the overall uniformity, disability glare and discomfort glare are a little bit lower than the recommendation.

After the sample roads have been used for a certain period of time, the luminance of the concrete surface is still within the limit. However, the overall uniformity of the asphalt surface becomes much lower, while the disability glare as well as discomfort glare are much better. This yields benefits for drivers. To improve the overall uniformity values, pebbles can be used on the asphalt surfaces. This thesis also concludes how the design of street lights on the four sample roads should be, if the calculations of luminance values are taken into consideration.

ศูนย์วิทยุพัชรากร
 จุฬาลงกรณ์มหาวิทยาลัย

กิติกรรมประกาศ

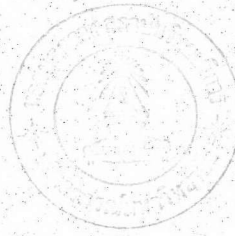


การวิจัยนี้สำเร็จลงได้ด้วยดี เนื่องจากผู้วิจัยได้รับความกรุณาอย่างสูงจากอาจารย์ที่ปรึกษาวิทยานิพนธ์ รองศาสตราจารย์ ดร.ประโมทย์ อุทโททยะ ซึ่งท่าน เป็นผู้สอนวิชา วิศวกรรมไฟฟ้าแสงสว่างให้แก่ผู้วิจัยตั้งแต่เริ่ม เรียนวิชานี้ และในการทำวิจัยนี้ยังได้กรุณาให้ คำแนะนำ ปรึกษา และเอกสารอ้างอิงต่าง ๆ อีกทั้งกรุณาให้ใช้ห้องทดลองเกี่ยวกับแสงสว่าง ที่บ้านของท่านอีกด้วย ซึ่งผู้วิจัยต้องขอกราบขอบพระคุณอย่างสูง ณ โอกาสนี้ด้วย

ผู้วิจัยขอขอบพระคุณต่อ ดร.ประสาธ จันทราทิพย์ ที่ได้กรุณาให้ข้อมูลเกี่ยวกับการติดตั้ง ไฟถนนทางด่วนดินแดง-บางนา และให้ข้อคิดเห็นอัน เป็นประโยชน์ต่อการทำวิจัยนี้อย่างมาก ขอขอบพระคุณ หม่อมหลวง มียหงส์ นวรัตน์ หัวหน้าแผนกไฟฟ้าสาธารณะการไฟฟ้านครหลวง ที่ได้กรุณาให้ยืมลูมิแนซมีเตอร์ และให้ข้อมูลเกี่ยวกับการติดตั้งไฟถนนรัชดาภิเษก อีกทั้งได้แนะนำ และให้ข้อคิดเห็นเกี่ยวกับการทำวิจัยนี้หลายประการ ขอขอบพระคุณ รองศาสตราจารย์ ดร.เทียนชัย ประดิศถายน และ ผู้ช่วยศาสตราจารย์ ประสิทธิ์ พิทยพัลน์ ที่ได้กรุณาให้ข้อเสนอแนะ อันเป็น ประโยชน์ต่อการวิจัยนี้

ผู้วิจัยขอขอบพระคุณ รองศาสตราจารย์ ศักดา ศิริพันธ์ อาจารย์แผนกถ่ายภาพและ เทคโนโลยีทางการพิมพ์ ภาควิชาวิทยาศาสตร์ จุฬาลงกรณ์มหาวิทยาลัย ที่ได้กรุณาให้คำแนะนำ การใช้ฟิล์มสไลด์ การถ่ายภาพและการใช้ เคนซีโตมิเตอร์ และต้องขอขอบคุณ พี่ เพื่อน และ น้องอีกหลายท่านที่ไม่ได้กล่าวนามในที่นี้ ซึ่งได้ช่วยงานวิจัยอีกหลายอย่าง จนสำเร็จลุล่วงได้ด้วยดี

ศูนย์วิทยบริการ
จุฬาลงกรณ์มหาวิทยาลัย



บทคัดย่อภาษาไทย	ง
บทคัดย่อภาษาอังกฤษ	ฉ
กิตติกรรมประกาศ	ช
รายการรูปภาพและตารางประกอบ	ฅ
รายการรูปประกอบ	ฉ

บทที่

1	บทนำ	1
	1.1 ความเป็นมาของปัญหา	1
	1.2 ความสำคัญของปัญหา	1
	1.3 วัตถุประสงค์และขอบเขตของการวิจัย	2
	1.4 การดำเนินการวิจัย	3
	1.5 ประโยชน์ที่ได้จากการวิจัย	8
	1.6 นิยามของคำต่าง ๆ	9
2	ไฟถนนและสภาพการมองเห็นวัดถนนถนน	11
	2.1 การมองเห็น	11
	2.2 การมองเห็นแล้วสบายตา	19
	2.3 ชนิดของถนนและค่าทางแสงสว่างของไฟถนน	22
3	หลอดไฟ โคมไฟ และการติดตั้งไฟถนน	26
	3.1 หลอดไฟ	26
	3.2 โคมไฟ	38

3.3	เสา โคม และหลอดไฟฟ้าที่ใช้เป็นตัวอย่างในการวิจัย	43
3.4	การติดตั้งไฟถนน	45
4	พิกน	50
4.1	การหาค่าสัมประสิทธิ์ความส่องสว่างของพิกน	50
4.2	การคำนวณหาค่าสัมประสิทธิ์ความส่องสว่างเฉลี่ย	54
4.3	ความมันพิกน	57
4.4	การจัดประเภทของพิกนในสภาพแห้ง	58
5	ทฤษฎี และการคำนวณเกี่ยวกับค่าแสงสว่างไฟถนน	64
5.1	การคำนวณค่าความสว่างและความส่องสว่างของไฟถนน	64
5.2	Discomfort glare	69
5.3	Disability glare	71
6	การใช้คอมพิวเตอร์ในการคำนวณค่าแสงสว่างไฟถนน	75
6.1	การกำหนดค่าการกระจายความเข้มแห่งการส่องสว่าง	75
6.2	การกำหนดค่าสัมประสิทธิ์การสะท้อนแสงของพิกน	76
6.3	การคำนวณค่าความสว่างและความส่องสว่างโดยใช้คอมพิวเตอร์	77
6.4	คุณลักษณะความส่องสว่าง	81
6.5	Disability glare	83
6.6	Discomfort glare	84
6.7	โปรแกรมคอมพิวเตอร์	84
7	ผลการคำนวณและการวัดค่าแสงสว่างของไฟถนนตัวอย่าง	89
7.1	ผลการคำนวณ	89
7.2	หลักการวัดความส่องสว่างไฟถนน	112
7.3	ผลการวัดความส่องสว่างไฟถนน	113

บทที่	หน้า
8 สรุป วิเคราะห์ และวิจารณ์ผลการทดลอง	136
8.1 สรุปผลของการคำนวณและการวัด	136
8.2 วิเคราะห์และวิจารณ์ผลการทดลอง	140
8.3 เปรียบเทียบผลการคำนวณค่าความสว่างและความส่องสว่าง ของไฟถนน ที่ถนนรัชดาภิเษกช่วงที่มีผิวถนน เป็นคอนกรีตและ แอสฟัลท์	147
8.4 วิเคราะห์การคำนวณไฟถนนทั้ง 4 แห่ง โดยใช้ค่าความส่องสว่าง ..	147
8.5 ปัญหาและข้อเสนอแนะ	152
หนังสืออ้างอิง	154
ภาคผนวก	155
1. ตาราง R1	155
2. ตาราง R2	156
3. ตาราง R3	157
4. ตาราง R4	158
5. ตาราง N1	159
6. ตาราง N2	160
7. ตาราง N3	161
8. ตาราง N4	162
9. โปรแกรมคอมพิวเตอร์	163
10. ตารางการกระจายความ เข้มแรงแสงสว่างของโคมไฟ ถนนรัชดาภิเษก	192
11. ตารางการกระจายความ เข้มแรงแสงสว่างของโคมไฟ ถนนทางด่วนดินแดง-บางนา	193
12. ตารางการกระจายความ เข้มแรงแสงสว่างของโคมไฟ ถนนพหลโยธิน อ.เมือง จ.นครราชสีมา	194

บทที่	หน้า
13. แสดงค่า $q(\alpha, \beta)$ จากการวัดพิวตัวอย่างคอนกรีตขณะเปียก	195
14. แสดงค่า $q(\alpha, \beta)$ จากการวัดพิวตัวอย่างแอสฟัลท์ขณะเปียก	196
ประวัติ	197



ศูนย์วิทยทรัพยากร
จุฬาลงกรณ์มหาวิทยาลัย

รายการรูปภาพและตารางประกอบ

	หน้า
ตาราง 2.1 ประเภทถนนตามคำแนะนำของ ซี ไอ อี	24
ตาราง 2.2 คำแนะนำค่าแสงสว่างไฟถนนของ ซี ไอ อี	25
ตาราง 3.1 แสดงขนาดและค่าใช้งานต่าง ๆ ของหลอดโซเดียมความดันไอต่ำ ที่มีกำลังไฟฟ้าต่าง ๆ กัน	30
ตาราง 3.2 หลอดโซเดียมความดันไอสูง กำลังไฟฟ้า แบบ ขนาด และค่าใช้งาน ต่าง ๆ	33
ตาราง 3.3 หลอดแสงจันทร์แบบฉายด้วยฟอสเฟอร์ กำลังไฟฟ้า ขนาด และค่าใช้งานต่าง ๆ	37
ตาราง 3.4 การแบ่งประเภทของโคมไฟตามมาตรฐาน ซี ไอ อี ตั้งแต่ปี ค.ศ. 1965	42
ตาราง 3.5 การแบ่งประเภทของโคมไฟตามมาตรฐาน ซี ไอ อี ตั้งแต่ปี ค.ศ. 1977	43
ตาราง 4.1 ตาราง Weighting factor	56
ตาราง 4.2 การจัดประเภทของผิวถนนในสภาพแห้งของ ซี ไอ อี	60
กราฟ 4.1 เปรียบเทียบค่า r ของตาราง R ₁ และ R ₄ ที่ $\beta = 0^\circ$ และ $\tan \gamma$ ต่าง ๆ	62
กราฟ 4.2 เปรียบเทียบค่า r ของตาราง R ₁ และ R ₄ ที่ $\beta = 45^\circ$ และ $\tan \gamma$ ต่าง ๆ	63
ตาราง 6.1 Input data	86
กราฟ 7.1 การสอบเทียบค่าลูมิแนนซ์มิเตอร์กับค่ามาตรฐาน V _λ -curve ของแสงไฟจากหลอดโซเดียมความดันไอต่ำ 135 วัตต์ และ หลอดโซเดียมความดันไอสูง 400 วัตต์	115

ตาราง 7.1	ผลการวัดและการสอบเทียบค่าความส่องสว่างถนนรัชดาภิเษก ช่วงฟิวถนนคอนกรีต	118
ตาราง 7.2	ผลการวัดและการสอบเทียบค่าความส่องสว่างถนนรัชดาภิเษก ช่วงฟิวถนนแอสฟัลท์	122
ตาราง 7.3	ผลการวัดและการสอบเทียบค่าความส่องสว่างทางด่วนดินแดง-บางนา ..	127
ตาราง 7.4	ผลการวัดและการสอบเทียบค่าความส่องสว่างถนนสุขุมมนตรี	131
กราฟ 7.2	การสอบเทียบค่าความส่องสว่างของฟิวถนนจาก Densitometer	135
ตาราง 8.1	สรุปผลการคำนวณและการวัดความส่องสว่างถนนรัชดาภิเษก ช่วงฟิวถนนคอนกรีต	136
ตาราง 8.2	สรุปผลการคำนวณและการวัดความส่องสว่างถนนรัชดาภิเษก ช่วงฟิวถนนแอสฟัลท์	137
ตาราง 8.3	สรุปผลการคำนวณและการวัดความส่องสว่างทางด่วนดินแดง-บางนา ..	138
ตาราง 8.4	สรุปผลการคำนวณและการวัดความส่องสว่างถนนสุขุมมนตรี	139
ตาราง 8.5	ผลความส่องสว่างของการคำนวณฟิวถนนทั้ง การวัดและการ คำนวณฟิวถนน เบี่ยง ของถนนรัชดาภิเษกช่วงฟิวถนนคอนกรีต	141
ตาราง 8.6	ผลความส่องสว่างของการคำนวณฟิวถนนทั้ง การวัดและการคำนวณ ฟิวถนน เบี่ยง ของถนนรัชดาภิเษกช่วงฟิวถนนแอสฟัลท์	141
ตาราง 8.7	ผลความส่องสว่างของการคำนวณฟิวถนนทั้ง การวัดและการคำนวณ ฟิวถนน เบี่ยงของทางด่วนดินแดง-บางนา	142
ตาราง 8.8	ผลความส่องสว่างของการคำนวณฟิวถนนทั้ง การวัดและการคำนวณ ฟิวถนน เบี่ยง ของถนนสุขุมมนตรี	142

ตาราง 8.9	เปรียบเทียบคุณลักษณะความส่องสว่างจากการวัดกับคำแนะนำของ ซี ไอ อี ของถนนรัชดาภิเษกช่วงพิวถนนคอนกรีต	144
ตาราง 8.10	เปรียบเทียบคุณลักษณะความส่องสว่างจากการวัดกับคำแนะนำของ ซี ไอ อี ของถนนรัชดาภิเษกช่วงพิวถนนแอสฟัลท์	145
ตาราง 8.11	เปรียบเทียบคุณลักษณะความส่องสว่างจากการวัดกับคำแนะนำของ ซี ไอ อี ของทางด่วนดินแดง-บางนา	146
ตาราง 8.12	เปรียบเทียบคุณลักษณะความส่องสว่างจากการวัดกับคำแนะนำของ ซี ไอ อี ของถนนมุขมนตรี	147
ตาราง 8.13	คุณลักษณะของความส่องสว่างถนนรัชดาภิเษกช่วงพิวถนนคอนกรีต เมื่อเปลี่ยนระยะห่างของเสาไฟและ tilt angle	148
ตาราง 8.14	คุณลักษณะของความส่องสว่างถนนรัชดาภิเษกช่วงพิวถนนแอสฟัลท์ เมื่อเปลี่ยนระยะห่างของเสาไฟและ tilt angle	149
ตาราง 8.15	คุณลักษณะของความส่องสว่างทางด่วนดินแดง-บางนา เมื่อเปลี่ยน ระยะห่างของเสาไฟและความสูงของโคมไฟ	150
ตาราง 8.16	คุณลักษณะของความส่องสว่างถนนมุขมนตรี เมื่อเปลี่ยนระยะห่าง ของเสาไฟและความสูงของโคมไฟ	151

รายการรูปประกอบ

รูปที่	หน้า
1.1 ถนนรัชดาภิเษก ช่วงที่มีพื้นผิวเป็นคอนกรีต ตอนกลางวัน	4
1.2 ถนนรัชดาภิเษก ช่วงที่มีพื้นผิวเป็นแอสฟัลท์ ตอนกลางวัน	5
1.3 ทางด่วนดินแดง-บางนา ช่วงถนนเพชรบุรีตัดใหม่ถึงท่าเรือ ตอนกลางวัน	6
1.4 ถนนสุขุมมนตรี อำเภอมือง จังหวัดนครราชสีมา ตอนกลางวัน	8
1.5 แสดงการหาค่าความส่องสว่าง	10
2.1 แสดงค่า threshold contrast และความส่องสว่างบริเวณที่มอง ...	12
2.2 แสดงการสังเกตเห็นวัตถุหรือคนเดินเท้าบนถนนด้วย luminance contrast บวก (P) และลบ (n)	13
2.3 แสดงระยะทางที่เริ่มสังเกตเห็นวัตถุบนถนน (d) เมื่อผิวถนนมีความ ส่องสว่างเฉลี่ย (L_{av}) เปลี่ยนไป เมื่อวัตถุมีค่า C ต่าง ๆ กัน	14
2.4 แสดงความสัมพันธ์ระหว่างค่าความสม่ำเสมอทั้งหมด (U_0) กับความ ส่องสว่างเฉลี่ยของผิวถนน (L_{av}) เพื่อให้การสังเกตเห็นวัตถุ สี่เหลี่ยมลูกบาศก์ขนาด 20 เซนติเมตร ได้ 75 เปอร์เซ็นต์ เมื่อวาง วัตถุไว้ที่จุดมืดที่สุดของผิวถนน	15
2.5 แสดงการมองวัตถุแล้วมีแสงเข้าตาทำให้เกิดแกล้ง	16
2.6 แสดงค่า revealing power (RP) เมื่อความส่องสว่างเฉลี่ย (L_{av}) ของผิวถนนเปลี่ยนไป ที่ U_0 และ TI ต่าง ๆ กัน	18
2.7 แสดงความสัมพันธ์ระหว่าง visual acuity กับความส่องสว่างของ ผิวถนน	19

รูปที่ (ต่อ)	หน้า
2.8 แสดงค่า discomfort glare control mark (G) กับความ ส่องสว่างเฉลี่ย (L_{av}) ของผิวถนน	21
3.1 แสดงกระแสใช้งาน (I) และฟลักซ์การส่องสว่าง (ϕ) ของหลอด โซเดียมความดันไอต่ำ ตั้งแต่เริ่มจุดหลอดใช้งาน	27
3.2 หลอดโซเดียมความดันไอต่ำ	28
3.3 ความแรงรังสีทางสเปกตรัมของหลอดโซเดียมความดันไอต่ำ	29
3.4 กระแสใช้งาน (I) กำลังไฟฟ้า (P) และฟลักซ์การส่องสว่าง (ϕ) ที่แรงดันไฟฟ้าต่าง ๆ ของหลอดโซเดียมความดันไอต่ำ	29
3.5 หลอดโซเดียมความดันไอสูง	31
3.6 ความแรงรังสีสเปกตรัมของหลอดโซเดียมความดันไอสูง	32
3.7 กระแสใช้งาน (I) กำลังไฟฟ้า (P) และฟลักซ์การส่องสว่าง (ϕ) ของหลอดโซเดียมความดันไอสูง ตั้งแต่เริ่มจุดหลอดใช้งาน	32
3.8 กระแสใช้งาน (I) กำลังไฟฟ้า (P) และฟลักซ์การส่องสว่าง (ϕ) ที่แรงดันไฟฟ้าต่าง ๆ ของหลอดโซเดียมความดันไอสูง	33
3.9 หลอดแสงจันทร์	34
3.10 ความแรงรังสีทางสเปกตรัมของหลอดแสงจันทร์	35
3.11 กระแสใช้งาน (I) กำลังไฟฟ้า (P) และฟลักซ์การส่องสว่าง (ϕ) ของหลอดแสงจันทร์ตั้งแต่เริ่มจุดหลอดใช้งาน	35
3.12 กระแสใช้งาน (I) กำลังไฟฟ้า (P) และฟลักซ์การส่องสว่าง (ϕ) ที่แรงดันไฟฟ้าต่าง ๆ ของหลอดแสงจันทร์	36
3.13 C- γ plane system	38

รูปที่ (ต่อ)	หน้า
3.14 การแสดงตารางความเข้มแห่งการส่องสว่างของโคมไฟจากกระนาบ C ₂₇₀ ถึง C ₉₀ และจากกระนาบ C ₉₀ ถึง C ₂₇₀	39
3.15 ไอโซแคนเซลล์่าโคอะแกรมของโคมไฟจากกระนาบ C ₂₇₀ ถึง C ₉₀ ...	40
3.16 โพลลาโคอะแกรมของโคมไฟทั้ง 4 กระนาบ	41
3.17 แสดงลักษณะของ throw และ spread	42
3.18 ขนาดของดวงโคมและของ เสาที่ใช้ติดตั้งโคมไฟถนน ชนิดหลอดโซเดียม ความดันไอต่ำ	44
3.19 ขนาดของดวงโคมและของ เสาที่ใช้ติดตั้งโคมไฟถนนชนิดหลอดโซเดียม ความดันไอสูง	45
3.20 คำจำกัดความของการติดตั้งโคมไฟถนน	46
3.21 แสดงการติดตั้งโคมไฟถนนแบบต่าง ๆ	47
4.1 การติดตั้งโคมไฟถนนและการมองความส่องสว่างของผิวถนน	50
4.2 การกำหนดค่ามุมของแนวที่มองกับแนวระดับ (α) ของ ซี ไอ อี	51
4.3 การกำหนดค่ามุมเชิงของแข็ง (Ω_0) ของโคมไฟที่ส่องแสงลงบน ผิวถนนช่วงที่พิจารณาความส่องสว่างของผิวถนน	53
4.4 การหาค่า Q_0 โดยการ integrate รอบพื้นที่ของผิวถนนช่วงที่พิจารณา ความส่องสว่างในเทอมของ $\tan \chi$ และ β	54
4.5 แสดงค่า r ในลักษณะกราฟ 3 มิติที่ค่า $\tan \chi$ และ β ต่าง ๆ	57
4.6 แสดงลักษณะค่า r ของผิวถนนทั้งเมื่อ (a) เป็นผิวถนนที่มีความมันสูง (b) เป็นผิวถนนที่มีการสะท้อนแสงสม่ำเสมอ	57
4.7 แสดงลักษณะค่า r ของผิวถนนทั้ง 2 ชนิดที่มีความมันเท่ากัน แต่ (c) มีความส่องสว่างมากกว่า (d)	58

รูปที่ (ต่อ)

หน้า

4.8	ความสัมพันธ์ระหว่างค่า S_1 และ S_2	58
5.1	แสดงการคำนวณค่าทางแสงสว่างของโคมไฟที่มีการกระจายความเข้ม แห่งการส่องสว่างแบบ rotation symmetry	65
5.2	แสดงการคำนวณค่าทางแสงสว่างของโคมไฟที่มีการกระจายความเข้ม แห่งการส่องสว่างไม่เป็นแบบ rotation symmetry	66
5.3	แสดงการหาค่า Glare control mark (G) โดยวิธีกราฟ	70
5.4	การหาค่า equivalent veiling luminance (L_v) โดยวิธีกราฟ ..	73
5.5	การหาค่า threshold increment (TI) จากค่า L_v และความ ส่องสว่างเฉลี่ยของผิวถนนโดยวิธีกราฟ	74
6.1	แสดงตารางการกระจายความเข้มแห่งการส่องสว่างของโคมไฟจากระนาบ C_{270} ถึง C_{90} และ C_{90} ถึง C_{270}	76
6.2	แสดงตัวอย่างการประมาณค่าโดยใช้ quadratic interpolation ของค่า I	78
6.3	แสดงการใช้ quadratic interpolation ของ curve A จากรูป 6.2	79
6.4	แสดงจุดที่ต้องคำนวณภายในพื้นที่ที่ต้องคำนวณ	81
6.5	แสดงจุดสังเกตของการคำนวณค่า L_{av} , U_0 และ U_1	82
6.6	แสดง flow diagram ของโปรแกรมคอมพิวเตอร์	88
7.1	สภาพการติดตั้งไฟถนนเวลากลางวันของถนนรัชดาภิเษก ช่วงที่มีผิวถนน เป็นคอนกรีต	90
7.2	สภาพการติดตั้งไฟถนนเวลากลางวันของถนนรัชดาภิเษก ช่วงที่มีผิวถนน เป็นแอสฟัลท์	95

รูปที่ (ต่อ)	หน้า
7.3 สภาพการติดตั้งไฟถนน เวลากลางวันของทางด่วนดินแดง-บางนา	101
7.4 สภาพการติดตั้งไฟถนน เวลากลางวันของถนนสุขุมวิท	107
7.5 จุดที่ต้องวัด	112
7.6 ภาพสไลด์การวัดค่า L_{av} และ U_0 ของไฟถนน ถนนรัชดาภิเษก ช่วงที่มีผิวถนน เป็นคอนกรีต	119
7.7 ภาพสไลด์การวัดค่า U_1 ช่องวิ่งที่ 1 ของไฟถนน ถนนรัชดาภิเษก ช่วงที่มีผิวถนน เป็นคอนกรีต	119
7.8 ภาพสไลด์การวัดค่า U_1 ช่องวิ่งที่ 2 ของไฟถนน ถนนรัชดาภิเษก ช่วงที่มีผิวถนน เป็นคอนกรีต	120
7.9 ภาพสไลด์การวัดค่า U_1 ช่องวิ่งที่ 3 ของไฟถนน ถนนรัชดาภิเษก ช่วงที่มีผิวถนน เป็นคอนกรีต	120
7.10 ภาพสไลด์การวัดค่า U_1 ช่องวิ่งที่ 4 ของไฟถนน ถนนรัชดาภิเษก ช่วงที่มีผิวถนน เป็นคอนกรีต	121
7.11 ภาพสไลด์การวัดค่า L_{av} และ U_0 ของไฟถนน ถนนรัชดาภิเษก ช่วงที่มีผิวถนน เป็นแอสฟัลท์	123
7.12 ภาพสไลด์การวัดค่า U_1 ช่องวิ่งที่ 1 ของไฟถนน ถนนรัชดาภิเษก ช่วงที่มีผิวถนน เป็นแอสฟัลท์	124
7.13 ภาพสไลด์การวัดค่า U_1 ช่องวิ่งที่ 2 ของไฟถนน ถนนรัชดาภิเษก ช่วงที่มีผิวถนน เป็นแอสฟัลท์	124
7.14 ภาพสไลด์การวัดค่า U_1 ช่องวิ่งที่ 3 ของไฟถนน ถนนรัชดาภิเษก ช่วงที่มีผิวถนน เป็นแอสฟัลท์	125
7.15 ภาพสไลด์การวัดค่า U_1 ช่องวิ่งที่ 4 ของไฟถนน ถนนรัชดาภิเษก ช่วงที่มีผิวถนน เป็นแอสฟัลท์	125

รูปที่ (ต่อ)

หน้า

7.16	ภาพสไลด์การวัดค่า L_{av} และ U_0 ของไฟถนน ทางดาวน์ดินแดง-บางนา .	128
7.17	ภาพสไลด์การวัดค่า U_1 ช่องวิ่งที่ 1 ของไฟถนน ทางดาวน์ดินแดง-บางนา ..	128
7.18	ภาพสไลด์การวัดค่า U_1 ช่องวิ่งที่ 2 ของไฟถนน ทางดาวน์ดินแดง-บางนา ..	129
7.19	ภาพสไลด์การวัดค่า U_1 ช่องวิ่งที่ 3 ของไฟถนน ทางดาวน์ดินแดง-บางนา ..	129
7.20	ภาพสไลด์การวัดค่า L_{av} และ U_0 ของไฟถนน ถนนสุขุมมนตรี	132
7.21	ภาพสไลด์การวัดค่า U_1 ช่องวิ่งที่ 1 ของไฟถนน ถนนสุขุมมนตรี	132
7.22	ภาพสไลด์การวัดค่า U_1 ช่องวิ่งที่ 2 ของไฟถนน ถนนสุขุมมนตรี	133

ศูนย์วิทยทรัพยากร
จุฬาลงกรณ์มหาวิทยาลัย